

В заключение отметим, что увеличение квантового выхода GaAs (Cs, O)-фотоэмиттера за счет эффекта Шоттки имеет большое практическое значение в фотоэлектронных приборах с параллельным переносом изображения и в фотоэлектронных пушках, где напряженности электрического поля достигают 10^5 – 10^6 V/cm.

Авторы благодарят своих коллег за изготовление фотодиодов.

Работа выполнена при частичной поддержке Российского фонда фундаментальных исследований (грант № 93-02-15177).

Список литературы

- [1] Альперович В.Л., Паулиш А.Г., Терехов А.С. Письма в ЖЭТФ, **55**, 5, 289 (1992).
- [2] Alperovich V.L., Paulish A.G., Terekhov A.S. Phys. Rev. B**50**, 8, 5480 (1994).
- [3] Spectroscopy of nonequilibrium electrons and phonons / Ed. C.V.Shank and B.P.Zakharchenya. North-Holland (1992). 253 p.
- [4] Schottky W. Naturwissenschaften, **26**, 12, 843 (1938).
- [5] Howorth J.R., Harmer A.L., Trawny E.W. Appl. Phys. Lett. **23**, 3, 123 (1973).
- [6] Kohn E.S. IEEE Trans. Eletron Devices **ED-20**, 3, 321 (1973).
- [7] Мусатов А.Л., Коротких В.Л. ФТТ **20**, 3, 734 (1978).
- [8] Edoecumbe J.P., Aebi V.W., Davis G.A. In: Electron Tubes and Image Intensifiers. SPIE (1992). V. 1655. P. 204–210.
- [9] Терехов А.С., Орлов Д.А. Письма в ЖЭТФ **12**, 12, 827 (1994).

Физика твердого тела, том 38, № 1, 1996
Solid State Physics, vol. 38, N 1, 1996

АНОМАЛИИ ФОТОАКУСТИЧЕСКОГО ОТКЛИКА В СИСТЕМЕ CdS/Y-ЦЕОЛИТ

© И.В.Блонский, М.С.Бродин, В.А.Тгорик,
Г.М.Тельбиз, А.Г.Филин

Институт физики академии наук Украины,
252028 Киев, Украина
(Поступило в Редакцию 15 мая 1995 г.)

Микрокристаллы CdS, капсулированные в цеолитную матрицу, рассматриваются как перспективные модели квазинульмерных сред. Продолжавшиеся ранее их исследования [1,2] в основном были ориентированы на обнаружение «фиолетового» сдвига фундаментального края поглощения, объясняемого с позиций перенормировки структуры электронных зон вследствие квантово-размерного эффекта [3]. В настоящей работе впервые приводятся результаты, свидетельствующие и об особенностях энергопреобразующих процессов, протекающих с участием электронных возбуждений в системе пространственно разнесенных микрокристаллов CdS в цеолите Y. Исследовался фотоакустический (ФА) отклик с газомикрофонной и пьезоэлектрической регистрацией сигнала образцов системы CdS/Y-цеолит с концентрацией CdS в Y-цеолите $p = 2.76\%$, при которой, согласно [2], микрокристаллы CdS существуют в цеолитной матрице в виде переколяционных кластеров. В спектрах фотолюминесценции таких образцов наряду с традиционной

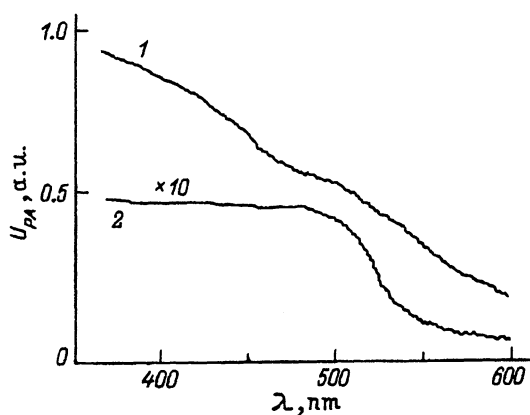


Рис. 1. Спектральное распределение амплитуды ФА-отклика исследуемых (1) и тестовых (2) образцов CdS при $T = 300$ К.

U_{PA} — амплитуда ФА-отклика, λ — длина волны возбуждающего излучения.

для монокристаллов CdS полосой с максимумом 520 нм при комнатной температуре нами также наблюдалась и более коротковолновая полоса с максимумом 440 нм, спектральное положение которой следует объяснять с позиций проявления квантово-размерного эффекта [3]. Условия приготовления таких образцов и используемые нами экспериментальные средства описаны в работах [4] и [5] соответственно.

На рис. 1 изображены зависимости амплитуды ФА-отклика U_{PA} от длины волны возбуждающего излучения λ при газомикрофонной регистрации сигнала исследуемых (1) и тестовых (2) образцов. В качестве последних использовались монокристаллические пластинки CdS таких же размеров, как и исследуемые образцы CdS/Y-цеолит: $5 \times 5 \times 0.5$ мм. Оптическое возбуждение осуществлялось излучением ксеноновой лампы ДКсШ-500, прошедшим через светосильный дифракционный монохроматор и промодулированным по интенсивности с частотой $f = 75$ Гц. Обе спектральные характеристики нормированы относительно зависимости $U_{PA}(\lambda)$ для тонкого слоя сажи. Отметим качественное и количественное расхождение зависимостей 1 и 2. Причину этого можно объяснить, основываясь на выводах теории ФА-эффекта с газомикрофонной регистрацией сигнала [6], развитой применительно к полупроводникам авторами работы [7] и учитывающей различие структурных форм образцов CdS/Y-цеолит и монокристаллических пластинок CdS. Согласно [6, 7], U_{PA} описывает эффективность преобразования энергии поглощенного излучения в тепловую энергию решетки. При этом, когда длина тепловой волны $L_T = D/(\pi f)^{1/2}$ (D — коэффициент температуропроводности) меньше характерной длины $L_\alpha = 1/\alpha$ (α — коэффициент поглощения света) и толщины d исследуемого образца, зависимость $U_{PA}(\lambda)$ отражает фундаментальную характеристику $\alpha(\lambda)$. Когда же $L_T > L_\alpha$, то реализуется режим теплового насыщения и корреляция между $U_{PA}(\lambda)$ и $\alpha(\lambda)$ нарушается. С учетом используемых значений параметров f и D легко показать, что в условиях нашего эксперимента корреляция между $U_{PA}(\lambda)$ и $\alpha(\lambda)$ возможна только в области $\alpha < 10^3$ см $^{-1}$. Таким обра-

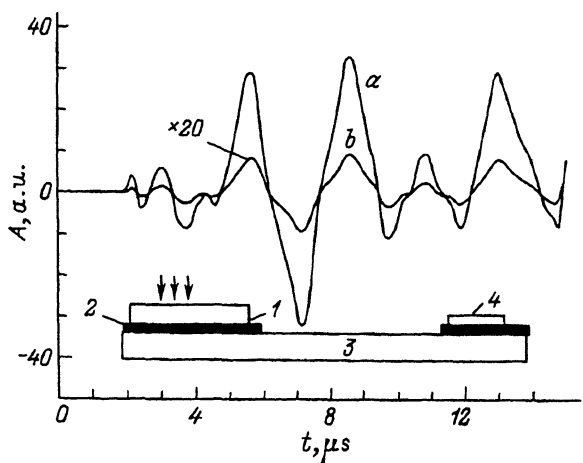


Рис. 2. Импульсный ФА-отклик исследуемых (a) и тестовых (b) образцов CdS, возбуждаемых наносекундными лазерными импульсами в область собственного поглощения.

A — амплитуда, t — время. На вставке изображена ячейка регистрации импульсного ФА-отклика: 1 — исследуемый образец, 2 — акустическая связка, 3 — сапфировый звукопровод, 4 — пьезопреобразователь.

зом, зависимость $U_{PA}(\lambda)$ для монокристаллических образцов воспроизводит зависимость $\alpha(\lambda)$ в области урбаховского края собственного поглощения, положение которого при комнатной температуре соответствует 520 нм. При более коротких длинах волн, где $\alpha(\lambda) > 10^3 \text{ см}^{-1}$, выполняется $L_\alpha < L_T$, т.е. реализуется режим теплового насыщения, который на зависимости $U(\lambda)$ соответствует области плато.

Непрерывное возрастание величины U_{PA} при уменьшении λ в образцах CdS/Y-цеолит (зависимость 1) следует объяснять с учетом «фиолетового сдвига» фундаментального края поглощения для переколяционных кластеров CdS вследствие проявления в последних квантово-размерного эффекта. Однако при этом требует объяснения и тот факт, что величина $U_{PA}(\lambda)$ от образцов CdS/Y-цеолит более чем в 20 раз пре-восходит отклик от монокристаллической пластины CdS. Среди наиболее вероятных причин этого выделим резкое возрастание в таких материалах поверхностной безызлучательной рекомбинации неравновесных носителей тока. Согласно [8], эффективность W такого процес-са можно описать зависимостью

$$W = AN \exp(-2r/R), \quad (1)$$

где A — функция, определяющая участие фоновой подсистемы, N — концентрация центров безызлучательной рекомбинации, r — расстояние между электроном и центром безызлучательной рекомбинации, R — область локализации волновой функции рекомбинирующего но-сителя заряда.

Логично ожидать, что в случае переколяционных кластеров CdS, в которых величина R ограничивается размером d переколяционного кла-стера, а также в связи с высоким отношением числа поверхностных ато-мов к числу объемных (при диаметре кластера 100 нм поверхностные атомы составляют $\sim 1\%$) вклад в локальный нагрев от поверхности рекомбинации носителей тока является доминирующим и определяет различие значений U_{PA} исследуемых и тестовых образцов.

Однако еще более неожиданным оказался факт более высокой эф-фективности преобразования энергии поглощенного излучения в зву-ковую энергию решетки в рыхлых по структуре образцах системы

CdS/Y -цеолит по сравнению с механически прочными монокристаллическими пластинками CdS . Последнее видно из сравнения приведенных на рис. 2 осциллограмм импульсного ФА-отклика, зарегистрированного пьезоэлектрическим методом при возбуждении образцов короткими (8 ns) мощными (10 kW/cm^2) импульсами лазера на парах азота ($\lambda = 337.1 \text{ nm}$). Двухполярность моноимпульса при этом объясняется распространением в образце волны сжатия–растяжения, а многократно повторяющийся акустический «звон» — переотражением акустических волн на пути их следования от образца через сапфировый звуко провод к пьезодатчику [9]. Примечательно, что фотогенерация звука в CdS/Y -цеолите оказывается более эффективной не только при возбуждении образцов в область собственного поглощения ($\lambda = 337.1 \text{ nm}$), но и в область прозрачности (580 – 650 nm) (в последнем случае возбуждение осуществлялось излучением перестраиваемого по λ импульсного лазера оригинальной конструкции на 6-аминофеналеноне в полиуретанкрилате). Различие состоит в том, что в первом случае отношение амплитуд импульсного ФА-отклика $U_{PA}(\text{CdS}/Y\text{-zeol})/U_{PA}(\text{CdS})$ равно 50, а во втором — примерно 10. Это свидетельствует о том, что по крайней мере два основных механизма причастны к проявлению особенностей фотогенерации звука в таких пространственно неоднородных средах. Несомненно, что в случае возбуждения образцов в область собственного поглощения доминирует термоупругий механизм. Свообразие его проявления в структурах, подобных рассматриваемой нами системе CdS/Y -цеолит, теоретически проанализировано в [10].

Регистрация звука при возбуждении образцов CdS/Y -цеолит в область прозрачности свидетельствует об актуальности проявления наряду с термоупругим и других механизмов. Для их анализа целесообразно обратиться к выражению для силового поля в среде, облучаемой переменным световым потоком [11]. Учитывая специфику исследуемых образцов CdS/Y -цеолит (множество границ раздела фаз и значительные различия в величинах их диэлектрических проницаемостей), можно ожидать, что при их возбуждении в область прозрачности преобладающим механизмом фотогенерации звука окажется механизм, связанный с градиентом диэлектрической проницаемости, парциальный вклад которого в суммарное силовое поле равен $-\text{grad}(\varepsilon)E^2/(8\pi)$ (E — напряженность электромагнитного поля, ε — диэлектрическая проницаемость). Качественно подобная картина наблюдалась нами и на пористом кремнии, что согласуется с высказанным предположением о природе механизма фотогенерации звука в системе термоизолированных кристаллов полупроводников. Эти результаты, а также численное сравнение эффективностей различных механизмов фотогенерации звука требуют рассмотрения в отдельной работе.

Работа выполнена при поддержке Европейского научного фонда INTAS № 94/324.

Список литературы

- [1] Wong Y., Herron N. J. Phys. Chem. **91**, 1, 257 (1987).
- [2] Wong Y., Herron N. J. Phys. Chem. **98**, 10, 4988 (1988).
- [3] Эфрос Ал.Л., Эфрос А.Л. ФТП **16**, 8, 1209 (1982).

- [4] Telbiz G.M., Gunko V.M., Tamulajtis G. React. Kinet. Catal. Lett. **50**, 1-2, 215 (1993).
 [5] Blonskij I.V., Grytz V.G., Tkhoruk V.A. SPIE Proc. **2113**, 1001 (1994).
 [6] Rosencwaig A., Gersho A. J. Appl. Phys. **47**, 1, 64 (1976).
 [7] Сабликов В.А., Сандомирский В.Б. ФТП **17**, 1, 81 (1983).
 [8] Suetomo T., Tanaka K., Nakajima A. Tech. Rep. ISSP. Ser. A. March, **2803** (1994).
 [9] Жаров В.П., Летохов В.С. Лазерная оптико-акустическая спектроскопия. М. (1984). 320 с.
 [10] Томчук П.М. УФЖ **38**, 8, 1174 (1993).
 [11] Ландау Л.Д., Либшиц Е.М. Электродинамика сплошных сред. М. (1982). 620 с.

*Физика твердого тела, том 38, № 1, 1996
 Solid State Physics, vol. 38, N 1, 1996*

МАГНИТНЫЕ СВОЙСТВА МОДУЛИРОВАННЫХ Fe/Мо-ПЛЕНОК

© Л.А. Чеботкевич, Ю.Л. Гаевилюк, С.В. Кузнецова, В.Г. Либшиц

Дальневосточный государственный университет,
 690600 Владивосток, Россия

(Поступило в Редакцию 6 марта 1995 г.

В окончательной редакции 16 июня 1995 г.)

Магнитомягкие многослойные магнитные структуры с ферромагнитными и немагнитными прослойками с высокой намагниченностью на основе Со и Fe перспективны для изготовления магнитных интегральных головок [1]. На свойства осажденных пленок оказывают большое влияние структура, химический состав слоев и ширина межфазных границ. Поэтому важно исследовать взаимосвязь между составом многослойных пленок, структурой межфазных границ и макроскопическими магнитными свойствами (намагниченностью, коэрцитивной силой и магнитной анизотропией).

В настоящей работе проведены исследования состава многослойных Fe/Мо-пленок по толщине для разных толщин ферромагнитных и парамагнитных слоев. Определено влияние толщин ферромагнитных и немагнитных слоев на эффективную намагниченность и магнитную анизотропию.

Пленки Fe/Мо получали распылением составной мишени через маску, препятствующую смешиванию атомных потоков Fe и Mo, в атмосфере инертного газа Ar при парциальном давлении $7 \cdot 10^{-4}$ Торр. Стеклянные подложки закреплялись на вращающейся карусели. Изменение толщины слоев осуществлялось изменением скорости вращения карусели с подложками и площади открытой мишени. Толщину напыляемых слоев контролировали по времени напыления. Для калибровки толщин использовали метод рентгеновской интерференции.

Структуру пленок исследовали методами просвечивающей электронной микроскопии и электронной микродифракции. Состав композиционно-модулированных структур исследовался методом оже-электронной спектроскопии (ОЭС), послойного оже-анализа и методом характеристических потерь энергии электронами (ХПЭ). Глубина травления ионами Ar^+ ($E_{\text{Ar}^+} = 4$ keV) определялась по времени травления.